

复合沟道 MOSFET

ELM4C4903FKA-N

<http://www.elm-tech.com>

■概要

ELM4C4903FKA-N 是低输入电容、低工作电压、低导通电阻的大电流 MOSFET。同时内藏有 N 沟道和 P 沟道的复合产品。

■特点

- | | |
|-----------------------------|------------------------------|
| N 沟道 | P 沟道 |
| • Vds=40V | • Vds=-40V |
| • Id=23A (Vgs=10V) | • Id=-20A (Vgs=-10V) |
| • Rds(on) = 28mΩ (Vgs=10V) | • Rds(on) = 40mΩ (Vgs=-10V) |
| • Rds(on) = 42mΩ (Vgs=4.5V) | • Rds(on) = 65mΩ (Vgs=-4.5V) |

■绝对最大额定值

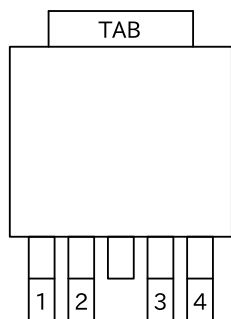
项目	记号	N 沟道 (最大值)	P 沟道 (最大值)	单位	备注	
漏极 - 源极电压	Vds	40	-40	V		
栅极 - 源极电压	Vgs	± 20	± 20	V		
漏极电流 (定常) (Vgs=10V)	Id	Tc=25°C	23	-20	A	1
		Tc=100°C	18	-16		
漏极电流 (脉冲)	Idm	46	-40	A	2	
单脉冲崩溃能量	EAS	28	66	mJ	3	
崩溃电流	Ias	17.8	-27.2	A		
容许功耗	Pd	25.0	31.3	W	4	
保存温度范围	Tstg	-55 ~ 150	-55 ~ 150	°C		
结合部温度范围	Tj	-55 ~ 150	-55 ~ 150	°C		

■热特性

项目	记号	典型值	最大值	单位	备注
结合部 - 环境热阻	Rθja	-	62	°C/W	1
结合部 - 封装热阻	Rθjc	-	5	°C/W	1

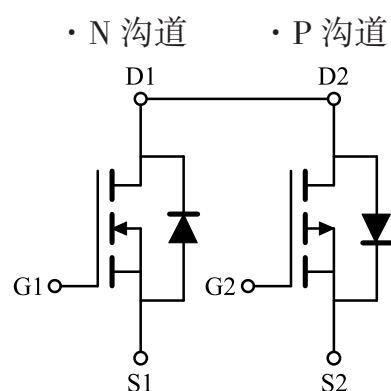
■引脚配置图

TO-252-4(俯视图)



引脚编号	引脚名称
1	SOURCE1
2	GATE1
3	SOURCE2
4	GATE2
TAB	DRAIN1/DRAIN2

■电路图



复合沟道 MOSFET

ELM4C4903FKA-N

<http://www.elm-tech.com>

■电特性 (N 沟道)

如没有特别注明时, Tj=25°C

项目	记号	条件	最小值	典型值	最大值	单位	备注
静态特性							
漏极 - 源极击穿电压	BVdss	Vgs=0V, Id=250μA	40	-	-	V	
漏极 - 源极导通电阻	Rds(on)	Vgs=10V, Id=12A	-	-	28	mΩ	2
		Vgs=4.5V, Id=10A	-	-	42		
栅极阈值电压	Vgs(th)	Vgs=Vds, Id=250μA	1.0	1.5	2.5	V	
栅极接地时漏极电流	Idss	Vds=32V, Vgs=0V	-	-	1	μA	
		Vds=32V, Vgs=0V, Tj=55°C	-	-	5		
栅极漏电电流	Igss	Vgs= ± 20V, Vds=0V	-	-	± 100	nA	
正向跨导	Gfs	Vds=5V, Id=12A	-	8	-	S	
寄生二极管最大连续电流	Is	Vgs=Vds=0V, Force current	-	-	23	A	1, 5
脉冲源电流	Ism		-	-	46	A	2, 5
二极管正向压降	Vsd	Vgs=0V, Is=1A	-	-	1.2	V	2
动态特性							
输入电容	Ciss	Vds=15V, Vgs=0V, f=1MHz	-	593	-	pF	
输出电容	Coss		-	76	-	pF	
反馈电容	Crss		-	56	-	pF	
栅极电阻	Rg	Vds=0V, Vgs=0V, f=1MHz	-	2.6	5.2	Ω	
开关特性							
总栅极电荷 (4.5)	Qg	Vds=20V, Vgs=4.5V, Id=12A	-	5.50	-	nC	
栅极 - 源极电荷	Qgs		-	1.25	-	nC	
栅极 - 漏极电荷	Qgd		-	2.50	-	nC	
导通延迟时间	td(on)	Vds=20V, Vgs=10V Rgen=3.3Ω, Id=1A	-	8.9	-	ns	
导通上升时间	tr		-	2.2	-	ns	
关闭延迟时间	td(off)		-	41.0	-	ns	
关闭下降时间	tf		-	2.7	-	ns	

备注:

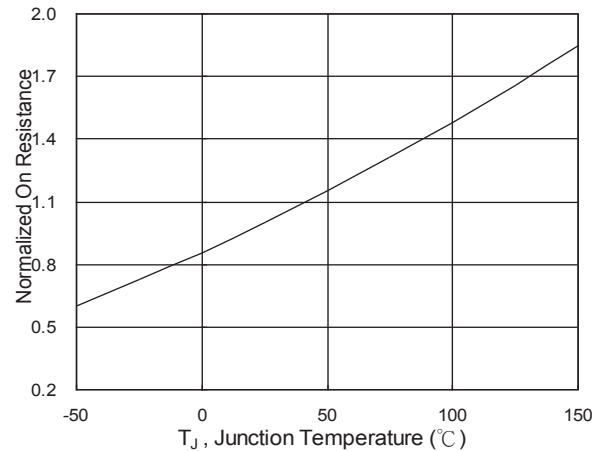
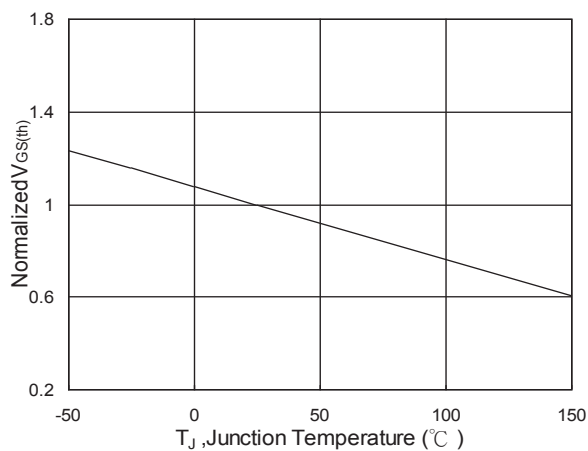
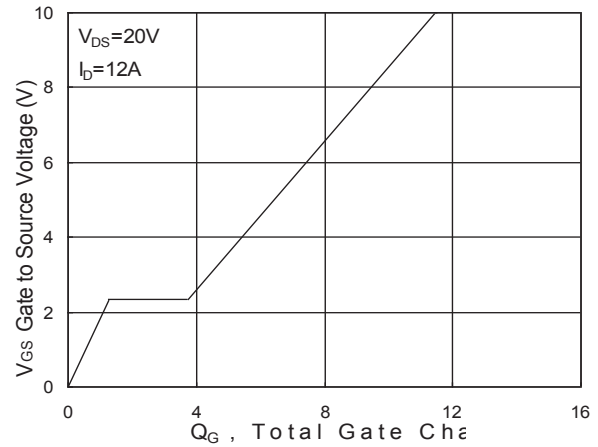
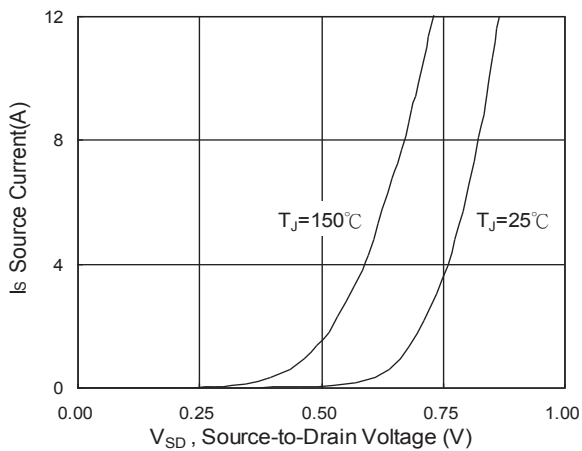
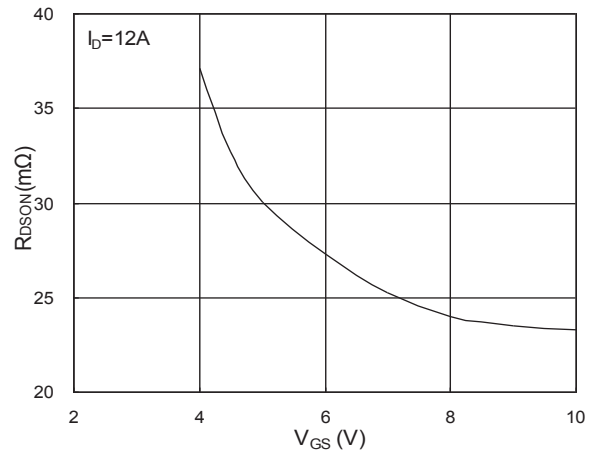
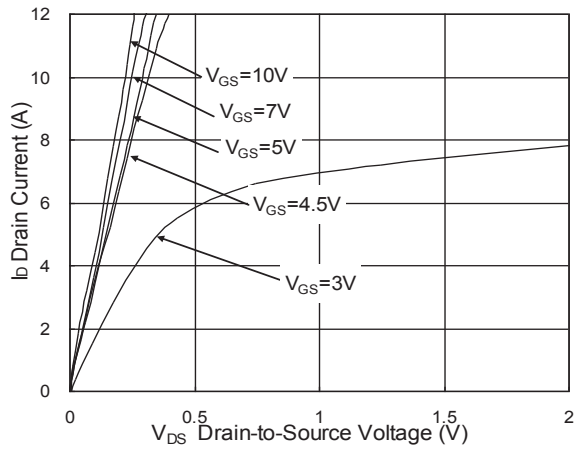
1. 测试数据是由安装在平面为1平方英寸FR-4、铜箔厚为70μm上取得的;
2. 脉冲测试数据: 脉冲宽度≤300μ秒, 占空比≤2%;
3. EAS表示的是最大值。测试条件为Vdd=25V, Vgs=10V, L=0.1mH, Ias=17.8A;
4. 容许功耗受150°C结合部温度限制;
5. 该数据在理论上与 Id、Idm 相同, 但在实际应用上会受到总功耗的限制。

复合沟道 MOSFET

ELM4C4903FKA-N

<http://www.elm-tech.com>

■ 标准特性曲线 (N 沟道)



复合沟道 MOSFET

ELM4C4903FKA-N

<http://www.elm-tech.com>

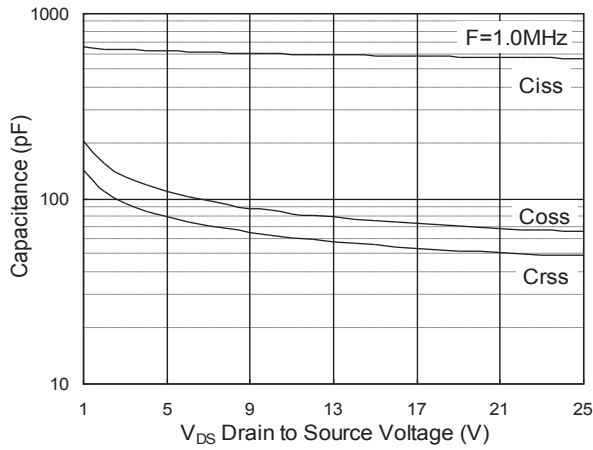


Fig.7 Capacitance

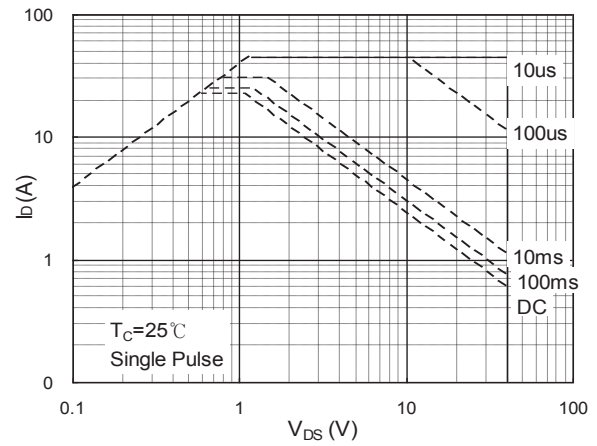


Fig.8 Safe Operating Area

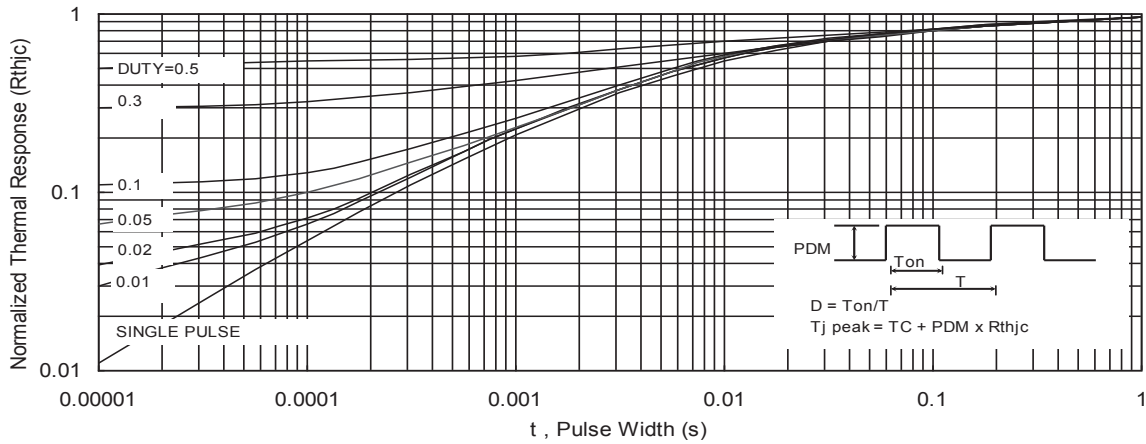


Fig.9 Normalized Maximum Transient Thermal Impedance

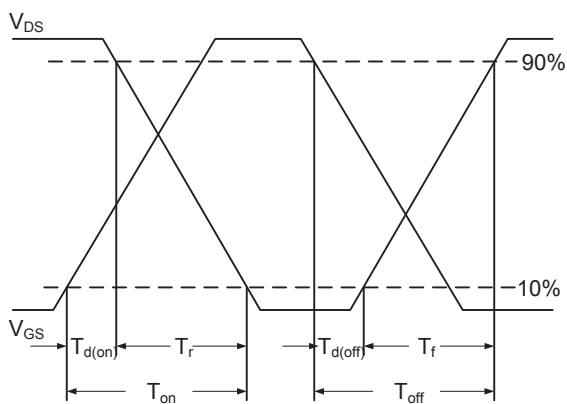


Fig.10 Switching Time Waveform

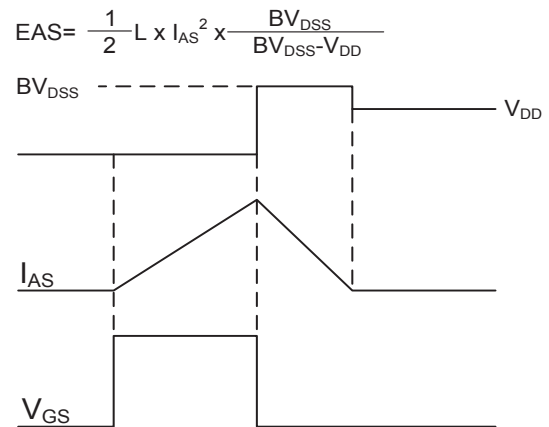


Fig.11 Unclamped Inductive Switching Wave

复合沟道 MOSFET

ELM4C4903FKA-N

<http://www.elm-tech.com>

■电特性 (P 沟道)

如没有特别注明时, Tj=25℃

项目	记号	条件	最小值	典型值	最大值	单位	备注
静态特性							
漏极 - 源极击穿电压	BVdss	Vgs=0V, Id=-250μA	-40	-	-	V	
漏极 - 源极导通电阻	Rds(on)	Vgs=-10V, Id=-8A	-	-	40	mΩ	2
		Vgs=-4.5V, Id=-4A	-	-	65		
栅极阈值电压	Vgs(th)	Vgs=Vds, Id=-250μA	-1.0	-1.6	-2.5	V	
栅极接地时漏极电流	Idss	Vds=-32V, Vgs=0V	-	-	-1	μA	
		Vds=-32V, Vgs=0V, Tj=55℃	-	-	-5		
栅极漏电电流	Igss	Vgs= ± 20V, Vds=0V	-	-	± 100	nA	
正向跨导	Gfs	Vds=-5V, Id=-8A	-	12.6	-	S	
寄生二极管最大连续电流	Is	Vgs=Vds=0V, Force current	-	-	-20	A	1, 5
脉冲源电流	Ism		-	-	-40	A	2, 5
二极管正向压降	Vsd	Vgs=0V, Is=-1A	-	-	-1	V	2
动态特性							
输入电容	Ciss	Vds=-15V, Vgs=0V, f=1MHz	-	1004	-	pF	
输出电容	Coss		-	108	-	pF	
反馈电容	Crss		-	80	-	pF	
栅极电阻	Rg	Vds=0V, Vgs=0V, f=1MHz	-	13	16	Ω	
开关特性							
总栅极电荷 (-4.5)	Qg	Vds=-20V, Vgs=-4.5V Id=-12A	-	9.00	-	nC	
栅极 - 源极电荷	Qgs		-	2.54	-	nC	
栅极 - 漏极电荷	Qgd		-	3.10	-	nC	
导通延迟时间	td(on)	Vds=-15V, Vgs=-10V Rgen=3.3Ω, Id=-1A	-	19.2	-	ns	
导通上升时间	tr		-	12.8	-	ns	
关闭延迟时间	td(off)		-	48.6	-	ns	
关闭下降时间	tf		-	4.6	-	ns	

备注:

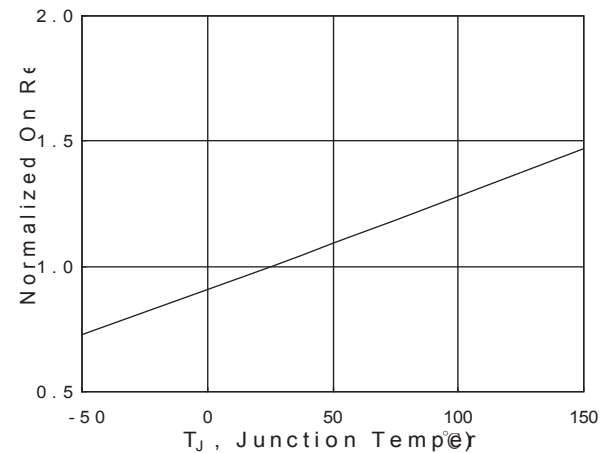
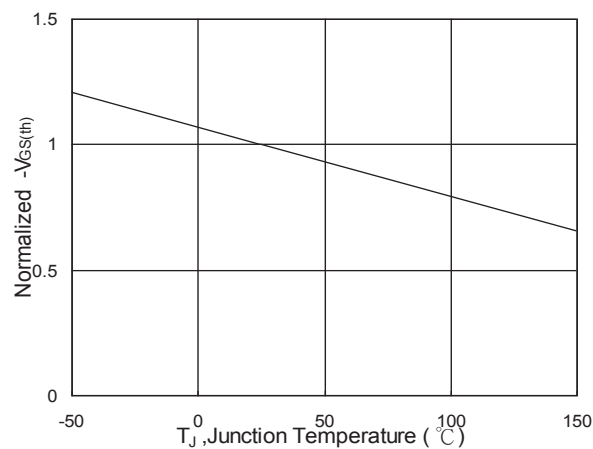
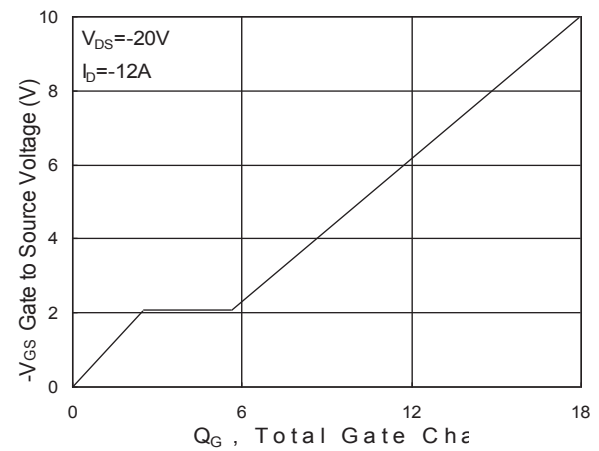
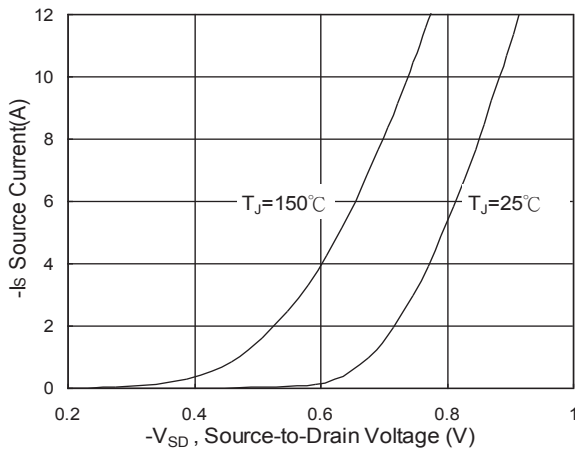
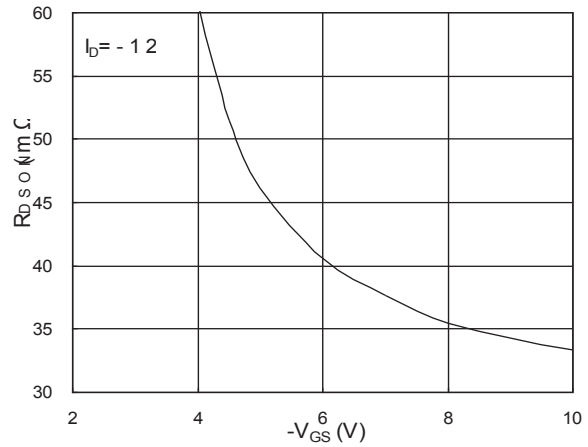
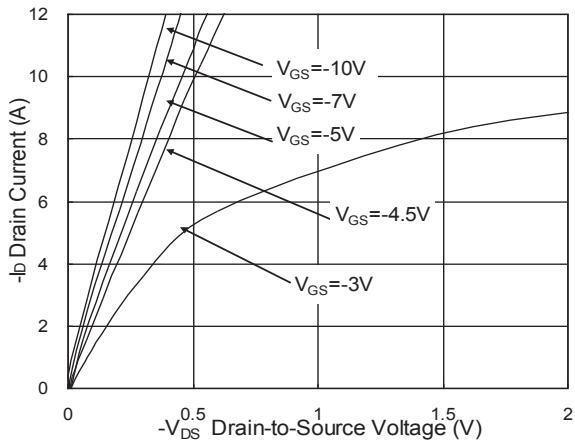
1. 测试数据是由安装在平面为1平方英寸FR-4、铜箔厚为70μm上取得的;
2. 脉冲测试数据: 脉冲宽度≤300μ秒, 占空比≤2%;
3. EAS表示的是最大值。测试条件为Vdd=-25V, Vgs=-10V, L=0.1mH, Ias=-27.2A;
4. 容许功耗受150℃结合部温度限制;
5. 该数据在理论上与 Id、Idm 相同, 但在实际应用上会受到总功耗的限制。

复合沟道 MOSFET

ELM4C4903FKA-N

<http://www.elm-tech.com>

■标准特性曲线 (P 沟道)



复合沟道 MOSFET

ELM4C4903FKA-N

<http://www.elm-tech.com>

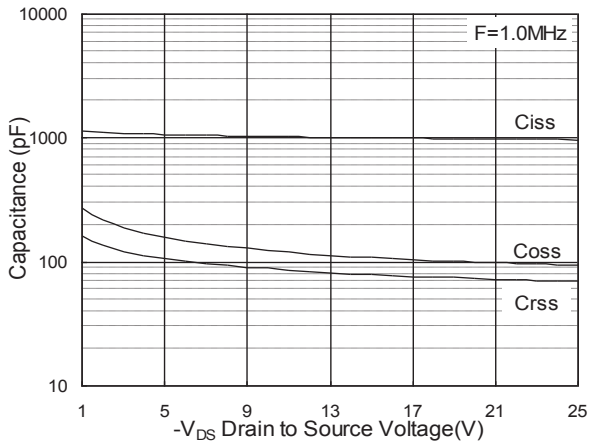


Fig.7 Capacitance

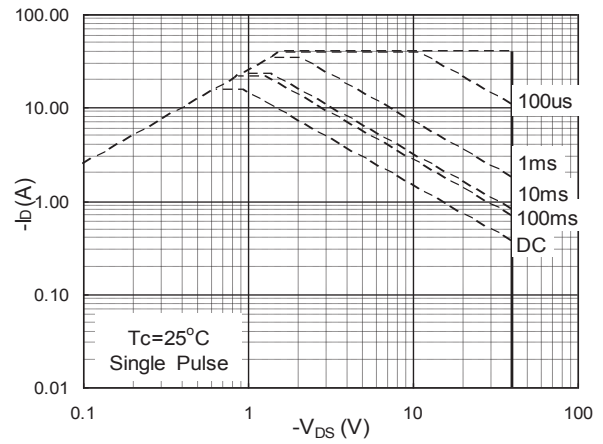


Fig.8 Safe Operating Area

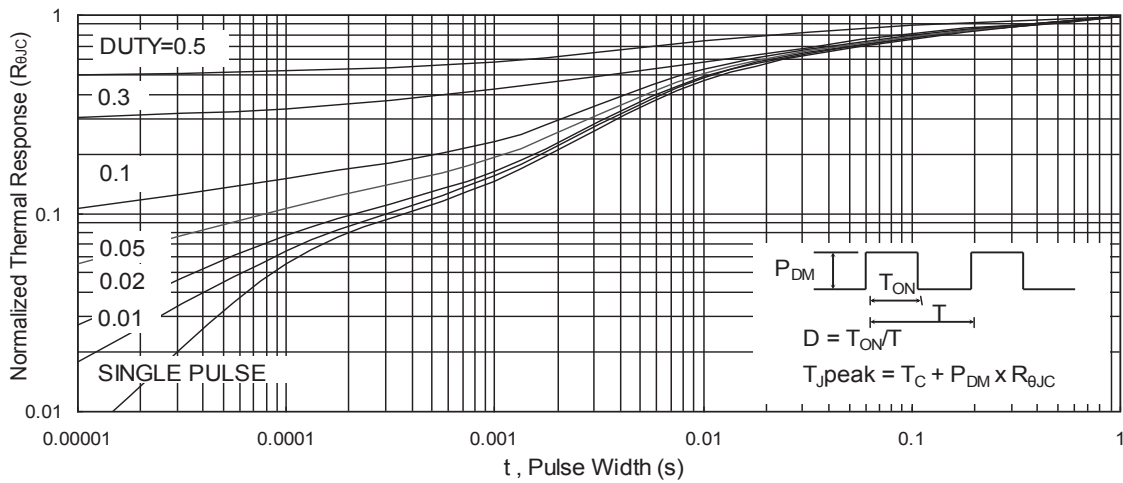


Fig.9 Normalized Maximum Transient Thermal Impedance

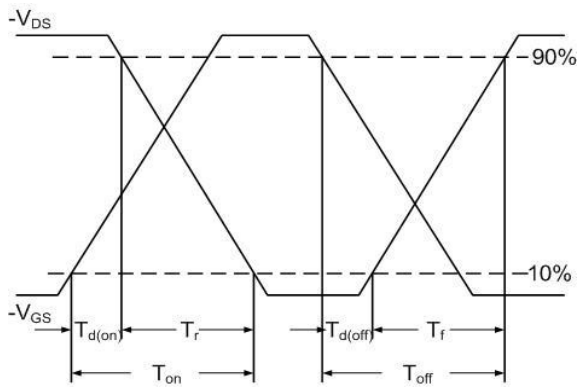


Fig.10 Switching Time Waveform

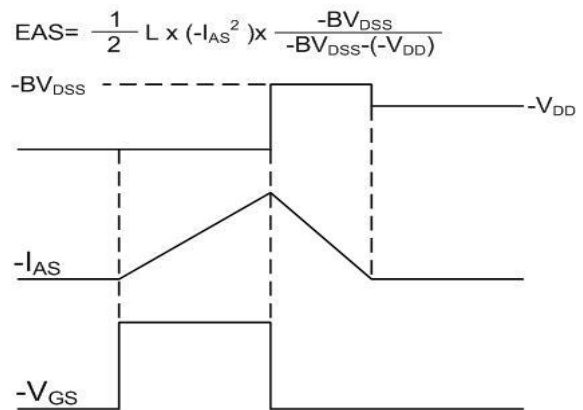


Fig.11 Unclamped Inductive Waveform